



Gianpietro Cagnoli gianpietro.cagnoli@univ-lyon1.fr

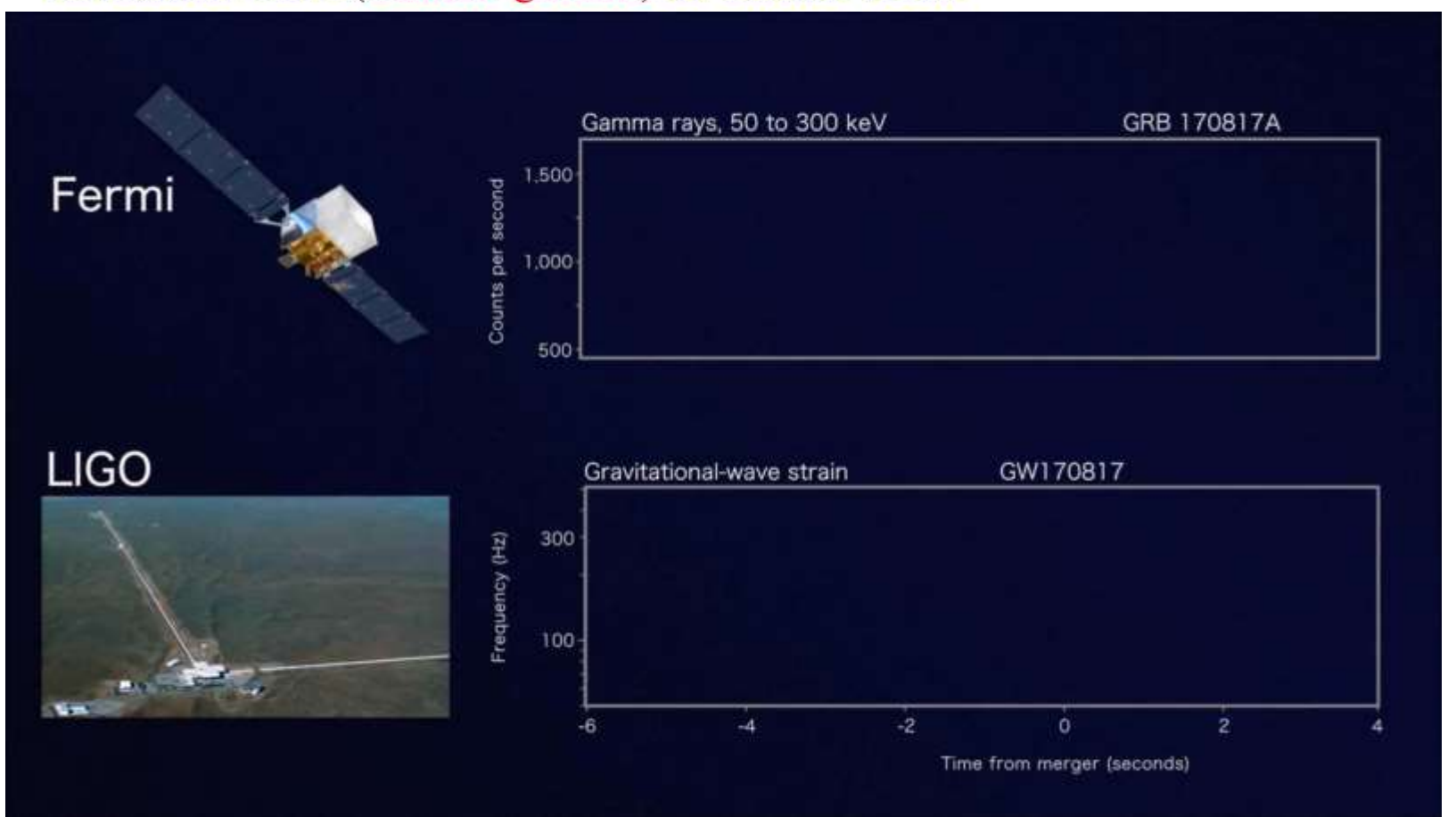


17-18 août 2017: 12 heures extraordinaires



Jeudi 17 août 2017, 14h41 heure de Paris

- Signaux enregistrés avec un écart de deux secondes
 - LIGO (ondes gravitationnelles)
 - Instrument GBM (sursauts gamma) du satellite Fermi





Plus tard le même jour ...

• 19h55

→ Localisation LIGO-Virgo

- Position dans le ciel :
 28 degrés carrés
- Estimation de la distance de la source







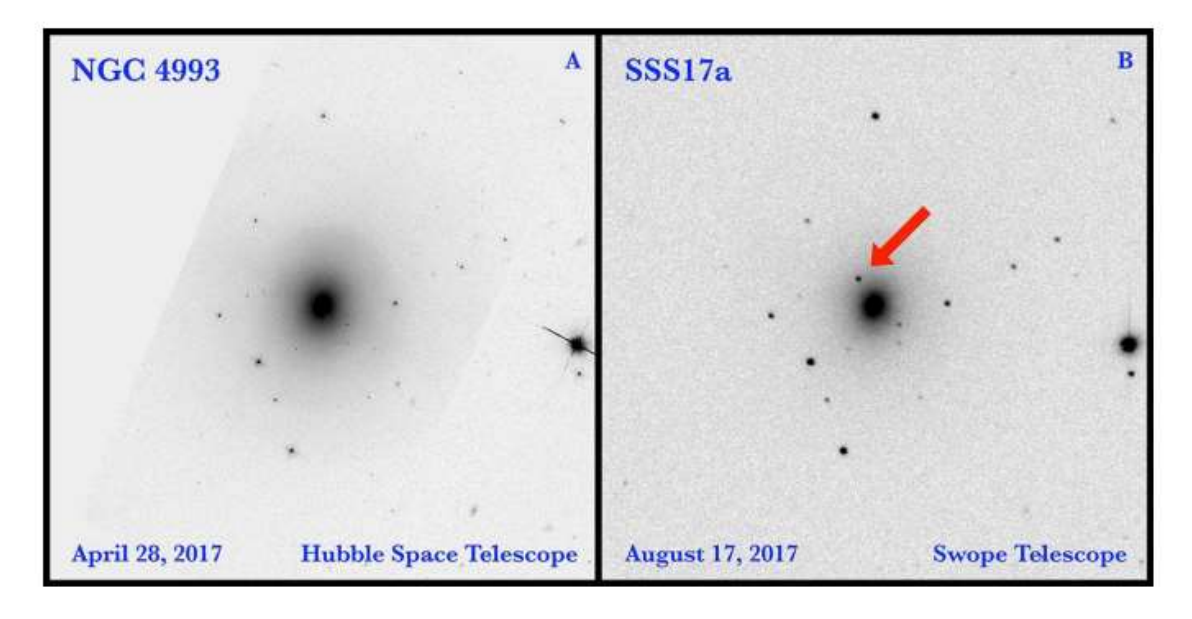


7



La nuit suivante ...

- 18/08/2017 01h33 heure de Paris
- → Découverte de la contrepartie optique à l'aide du télescope SWOPE au Chili



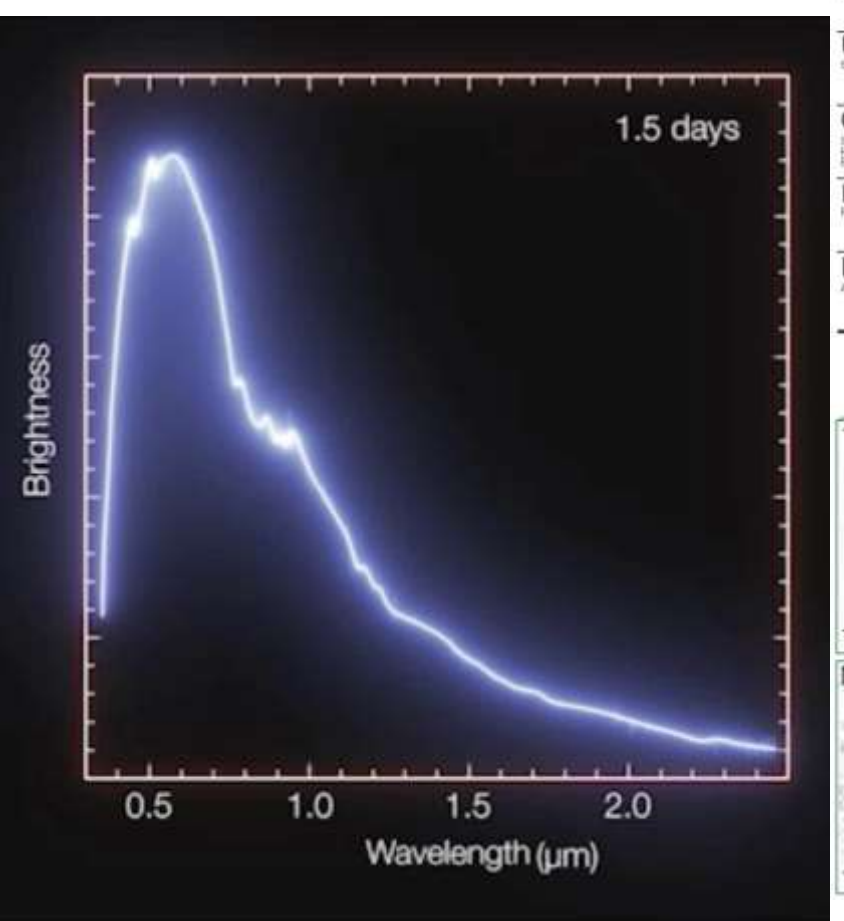


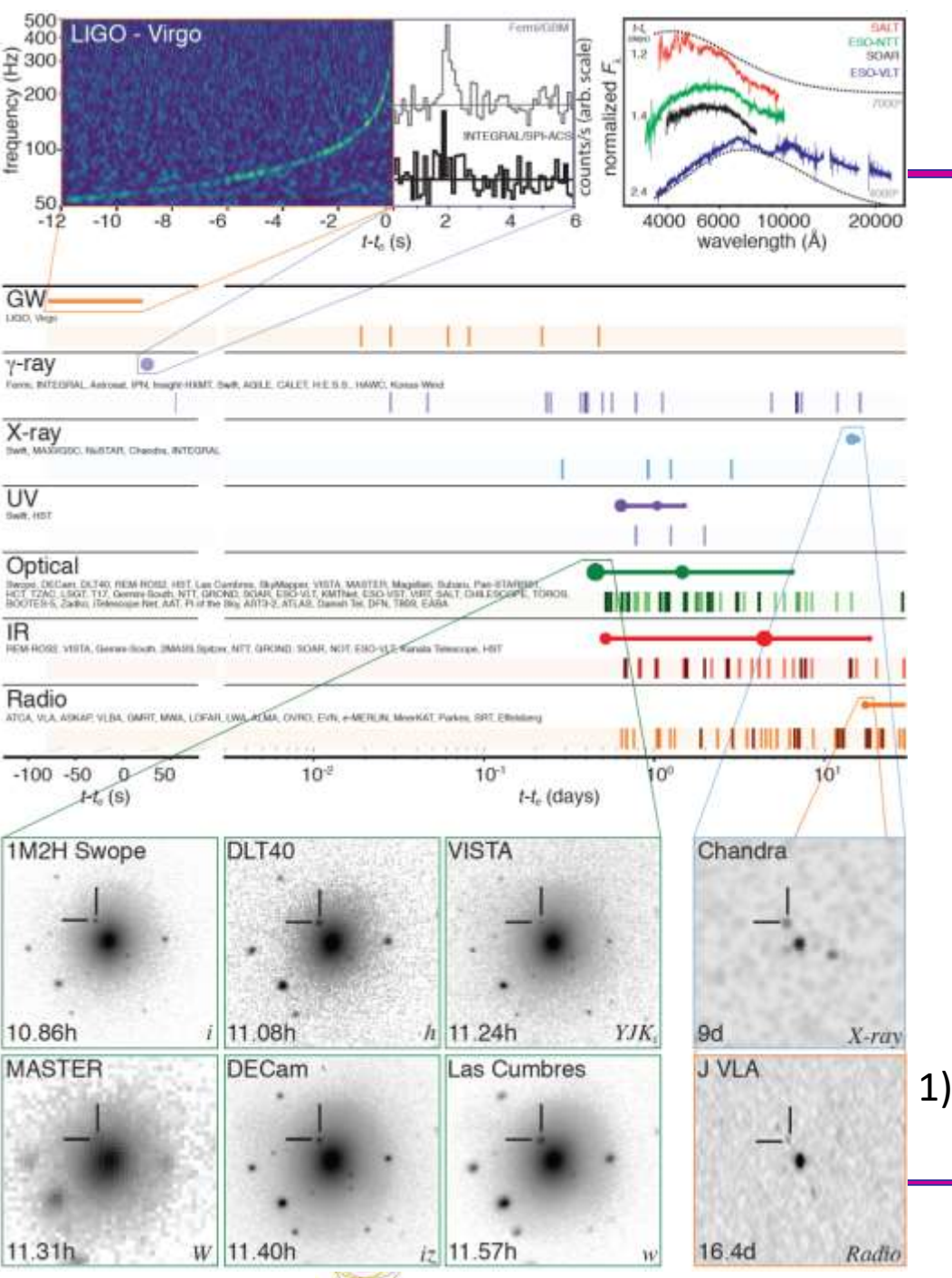
18

2021

Astronomie multi-messagers

 Ondes gravitationnelles, sursauts gamma,
 l'ensemble du spectre électromagnétique

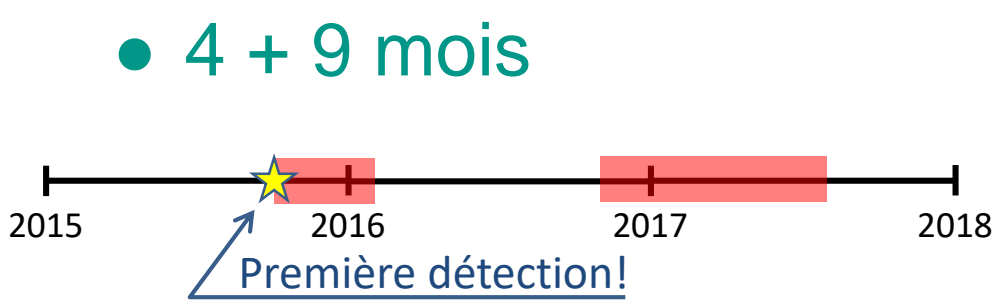




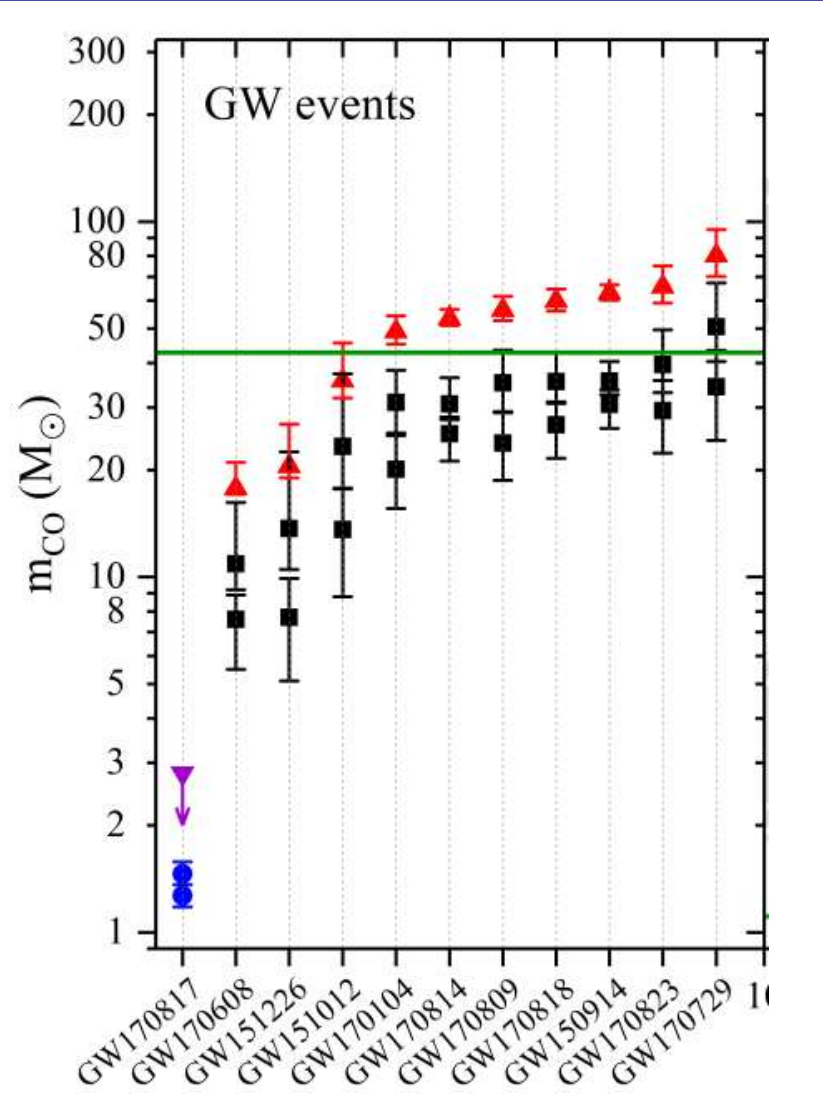
Une nouvelle science est née: L'Astronomie Multi-Messager



Campagnes de prise de données O1 et O2

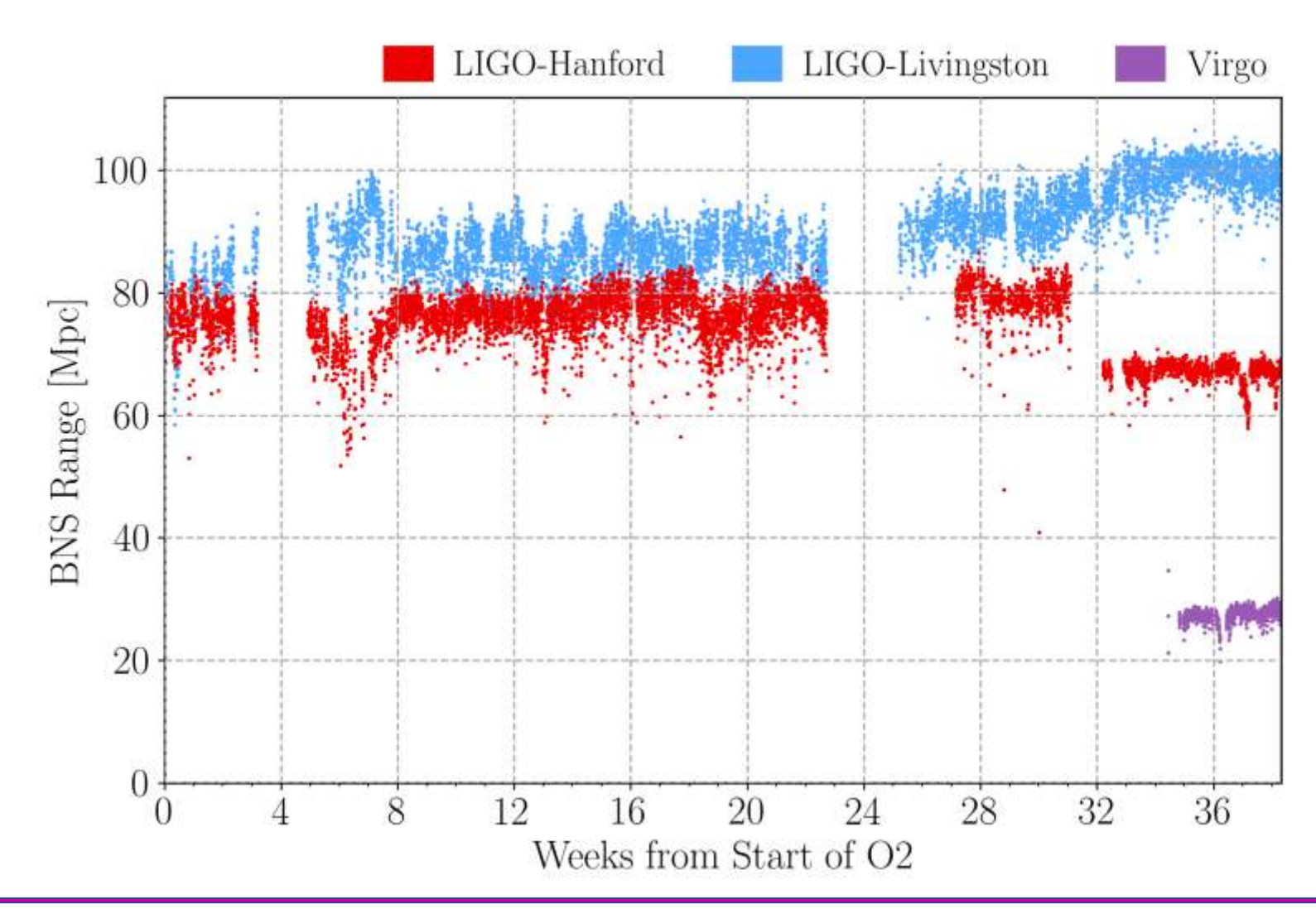


- Ils sont produits par fusion de corps massifs
 - 10 binaires de trous noires
 - 1 binaire d'étoiles de neutrons



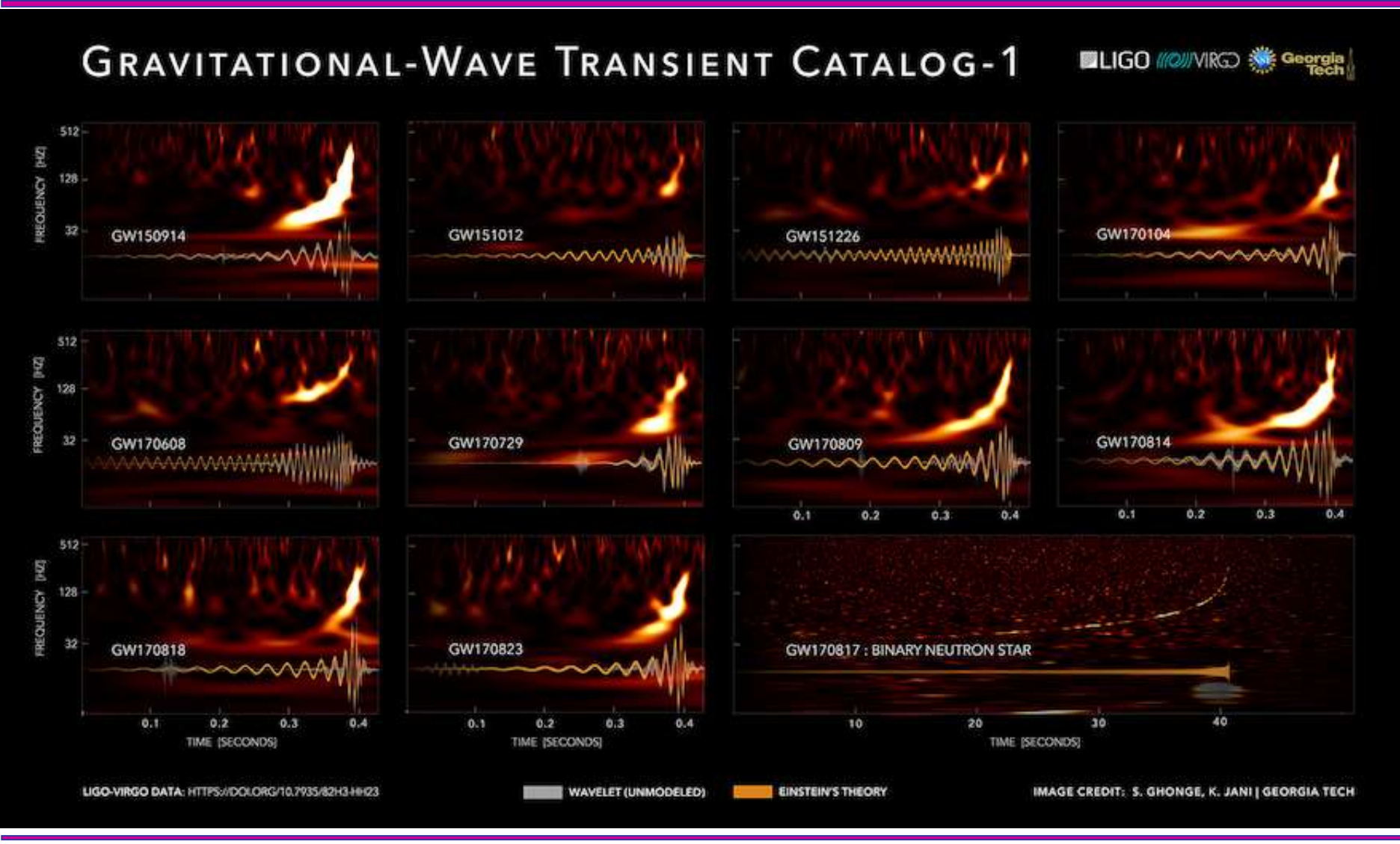
2)

La performance des 3 détecteurs en O2



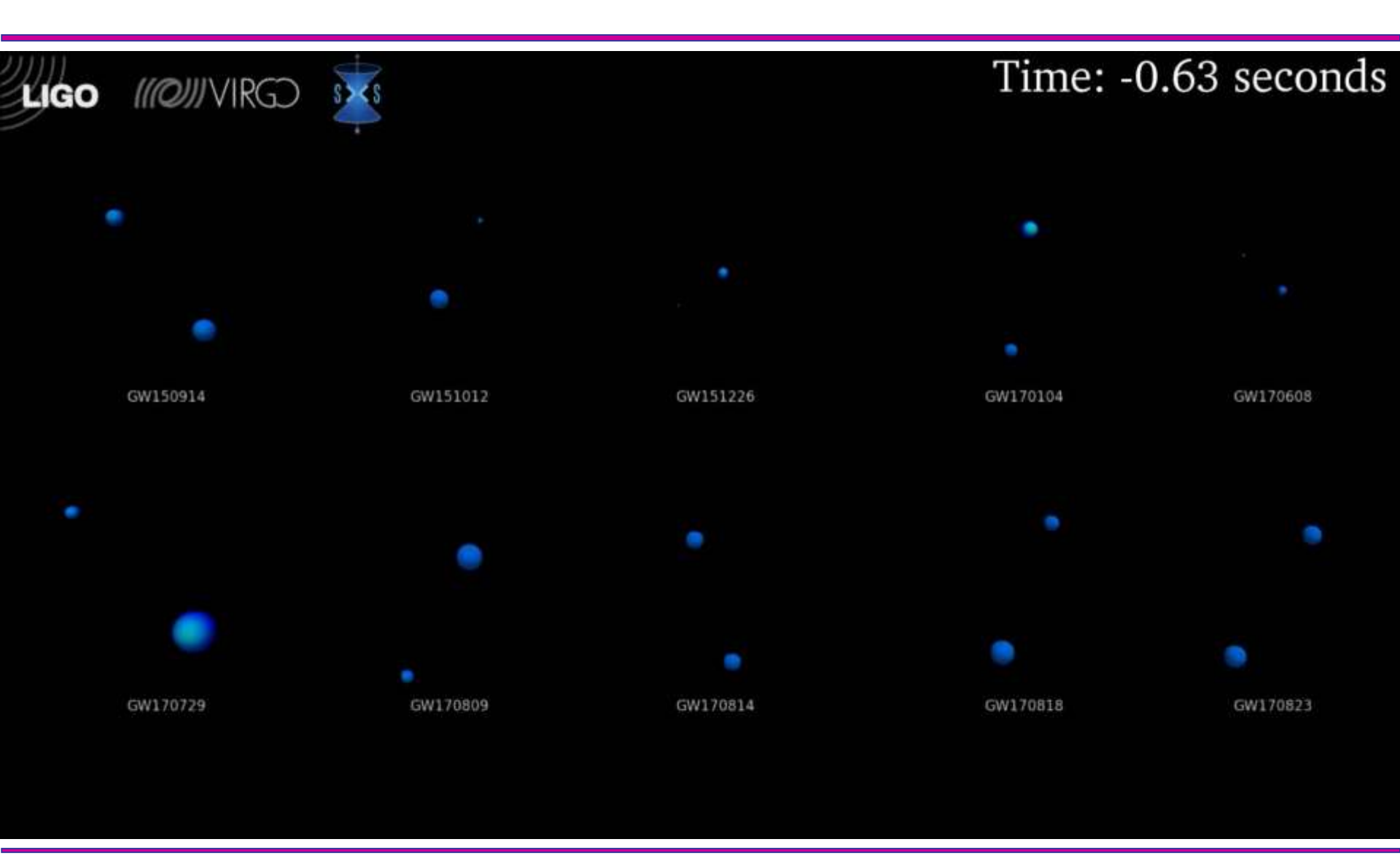


Le signaux





A nice cartoon!



POG - Introduction

G. Cagnoli

Les paramètres physiques des 11 binaires

Event	$m_1/{ m M}_{\odot}$	$m_2/{ m M}_{\odot}$	$\mathcal{M}/\mathrm{M}_{\odot}$	$\chi_{ m eff}$	$M_{\rm f}/{ m M}_{\odot}$	$a_{ m f}$	$E_{\rm rad}/({\rm M}_{\odot}c^2)$	$\ell_{\rm peak}/({\rm erg~s^{-1}})$	$d_L/{ m Mpc}$	z	$\Delta\Omega/{\rm deg^2}$
GW150914	$35.6^{+4.8}_{-3.0}$	$30.6^{+3.0}_{-4.4}$	$28.6^{+1.6}_{-1.5}$	$-0.01^{+0.12}_{-0.13}$	$63.1^{+3.3}_{-3.0}$	$0.69^{+0.05}_{-0.04}$	$3.1^{+0.4}_{-0.4}$	$3.6^{+0.4}_{-0.4} \times 10^{56}$	430+150	$0.09^{+0.03}_{-0.03}$	180
GW151012	$23.3^{+14.0}_{-5.5}$	$13.6^{+4.1}_{-4.8}$	$15.2^{+2.0}_{-1.1}$	$0.04^{+0.28}_{-0.19}$	$35.7^{+9.9}_{-3.8}$	$0.67^{+0.13}_{-0.11}$	$1.5^{+0.5}_{-0.5}$	$3.2^{+0.8}_{-1.7} \times 10^{56}$	1060^{+540}_{-480}	$0.21^{+0.09}_{-0.09}$	1555
GW151226	$13.7^{+8.8}_{-3.2}$	$7.7^{+2.2}_{-2.6}$	$8.9^{+0.3}_{-0.3}$	$0.18^{+0.20}_{-0.12}$	$20.5^{+6.4}_{-1.5}$	$0.74^{+0.07}_{-0.05}$	$1.0^{+0.1}_{-0.2}$	$3.4^{+0.7}_{-1.7} \times 10^{56}$	440^{+180}_{-190}	$0.09^{+0.04}_{-0.04}$	1033
GW170104	$31.0^{+7.2}_{-5.6}$	$20.1^{+4.9}_{-4.5}$	$21.5^{+2.1}_{-1.7}$	$-0.04^{+0.17}_{-0.20}$	$49.1^{+5.2}_{-3.9}$	$0.66^{+0.08}_{-0.10}$	$2.2^{+0.5}_{-0.5}$	$3.3^{+0.6}_{-0.9} \times 10^{56}$	960^{+430}_{-410}	$0.19^{+0.07}_{-0.08}$	924
GW170608	$10.9^{+5.3}_{-1.7}$	$7.6^{+1.3}_{-2.1}$	$7.9^{+0.2}_{-0.2}$	$0.03^{+0.19}_{-0.07}$	$17.8^{+3.2}_{-0.7}$	$0.69^{+0.04}_{-0.04}$	$0.9^{+0.05}_{-0.1}$	$3.5^{+0.4}_{-1.3} \times 10^{56}$	320^{+120}_{-110}	$0.07^{+0.02}_{-0.02}$	396
GW170729	$50.6^{+16.6}_{-10.2}$	$34.3^{+9.1}_{-10.1}$	$35.7^{+6.5}_{-4.7}$	$0.36^{+0.21}_{-0.25}$	$80.3^{+14.6}_{-10.2}$	$0.81^{+0.07}_{-0.13}$	$4.8^{+1.7}_{-1.7}$	$4.2^{+0.9}_{-1.5} \times 10^{56}$	2750^{+1350}_{-1320}	$0.48^{+0.19}_{-0.20}$	1033
GW170809	$35.2^{+8.3}_{-6.0}$	$23.8^{+5.2}_{-5.1}$	$25.0^{+2.1}_{-1.6}$	$0.07^{+0.16}_{-0.16}$	$56.4^{+5.2}_{-3.7}$	$0.70^{+0.08}_{-0.09}$	$2.7^{+0.6}_{-0.6}$	$3.5^{+0.6}_{-0.9} \times 10^{56}$	990^{+320}_{-380}	$0.20^{+0.05}_{-0.07}$	340
GW170814	$30.7^{+5.7}_{-3.0}$	$25.3_{-4.1}^{+2.9}$	$24.2^{+1.4}_{-1.1}$	$0.07^{+0.12}_{-0.11}$	$53.4^{+3.2}_{-2.4}$	$0.72^{+0.07}_{-0.05}$	$2.7^{+0.4}_{-0.3}$	$3.7^{+0.4}_{-0.5} \times 10^{56}$	580^{+160}_{-210}	$0.12^{+0.03}_{-0.04}$	87
GW170817	$1.46^{+0.12}_{-0.10}$	$1.27^{+0.09}_{-0.09}$	$1.186^{+0.001}_{-0.001}$	$0.00^{+0.02}_{-0.01}$	≤ 2.8	≤ 0.89	≥ 0.04	$\geq 0.1\times 10^{56}$	40^{+10}_{-10}	$0.01^{+0.00}_{-0.00}$	16
GW170818	$35.5^{+7.5}_{-4.7}$	$26.8^{+4.3}_{-5.2}$	$26.7^{+2.1}_{-1.7}$	$-0.09^{+0.18}_{-0.21}$	$59.8^{+4.8}_{-3.8}$	$0.67^{+0.07}_{-0.08}$	$2.7^{+0.5}_{-0.5}$	$3.4^{+0.5}_{-0.7} \times 10^{56}$	1020^{+430}_{-360}	$0.20^{+0.07}_{-0.07}$	39
GW170823	$39.6^{+10.0}_{-6.6}$	$29.4^{+6.3}_{-7.1}$	$29.3_{-3.2}^{+4.2}$	$0.08^{+0.20}_{-0.22}$	$65.6^{+9.4}_{-6.6}$	$0.71^{+0.08}_{-0.10}$	$3.3^{+0.9}_{-0.8}$	$3.6^{+0.6}_{-0.9} \times 10^{56}$	1850^{+840}_{-840}	$0.34^{+0.13}_{-0.14}$	1651

TABLE III. Selected source parameters of the eleven confident detections. We report median values with 90% credible intervals that include statistical errors, and systematic errors from averaging the results of two waveform models for BBHs. For GW170817 credible intervals and statistical errors are shown for IMRPhenomPv2NRT with low spin prior, while the sky area was computed from TaylorF2 samples. The redshift for NGC 4993 from [92] and its associated uncertainties were used to calculate source frame masses for GW170817. For BBH events the redshift was calculated from the luminosity distance and assumed cosmology as discussed in Appendix B. The columns show source frame component masses m_i and chirp mass \mathcal{M} , dimensionless effective aligned spin χ_{eff} , final source frame mass M_f , final spin a_f , radiated energy E_{rad} , peak luminosity l_{peak} , luminosity distance d_L , redshift z and sky localization $\Delta\Omega$. The sky localization is the area of the 90% credible region. For GW170817 we give conservative bounds on parameters of the final remnant discussed in Sec. V E.







Campagne de prise de données O3



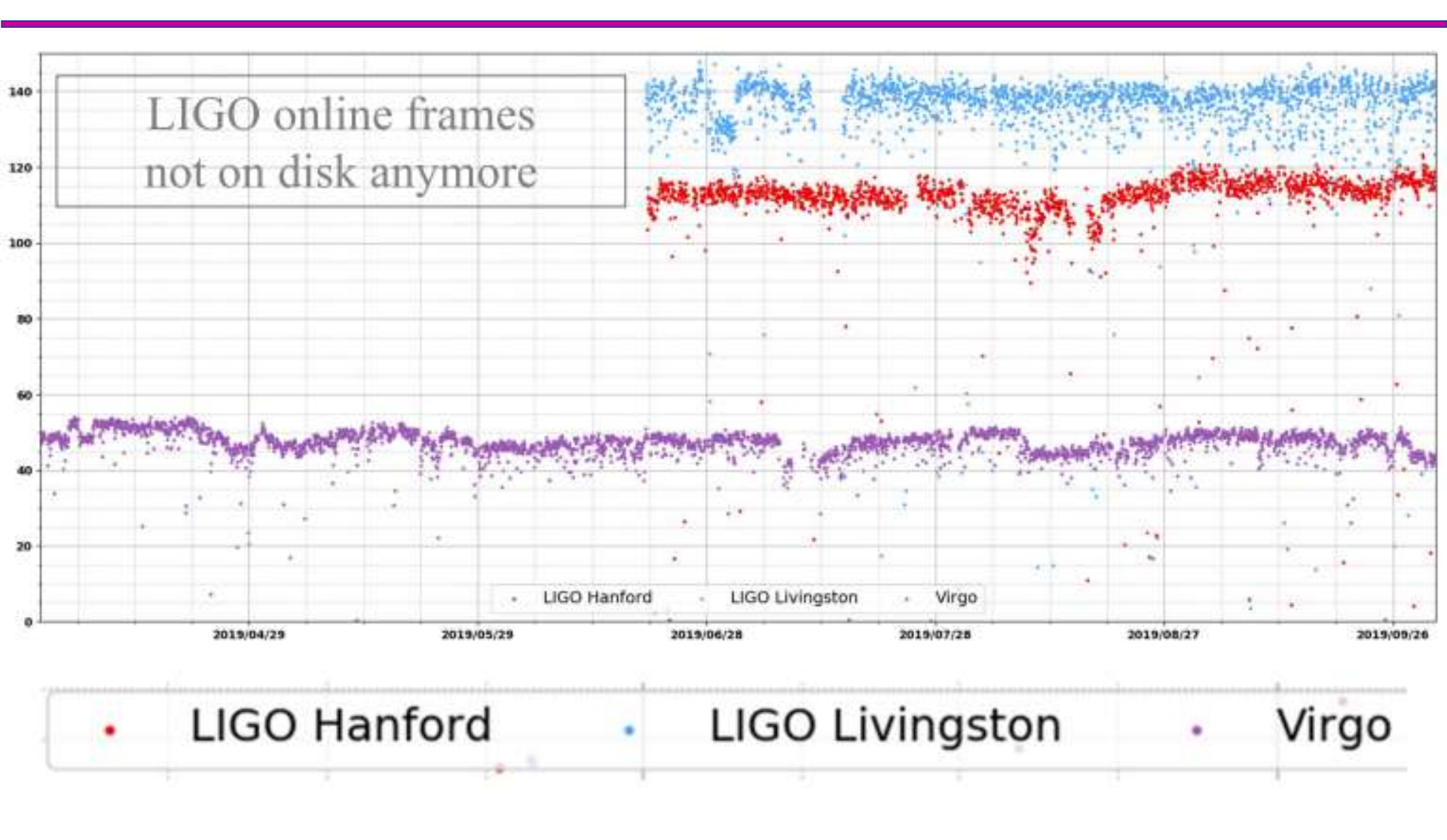
POG - Introduction

G. Cagnoli





La performance des 3 détecteurs en O3



POG - Introduction

G. Cagnoli



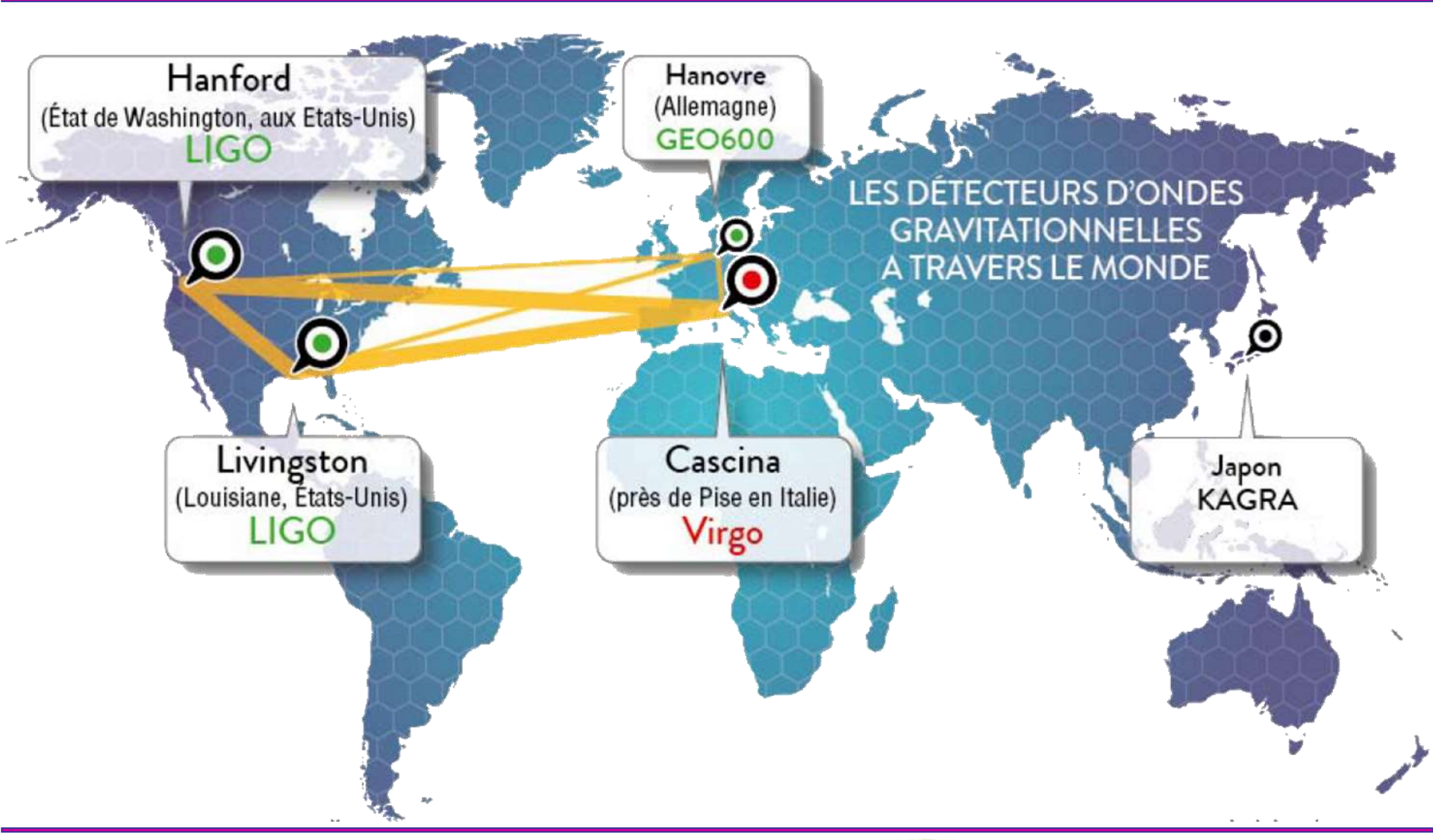
Les signaux de O3a

Event	(M_{\odot})	(M_{\odot})	(M_{\odot})	$\binom{m_2}{(M_{\odot})}$	Xeff	(Gpc)		(M_{\odot})	Xr	$\frac{\Delta\Omega}{(\deg^2)}$	SNR
GW190408_181802	$42.9^{+4.1}_{-2.9}$	18.3+1.8	$24.5_{-3.4}^{+5.1}$	18,3+3.3	$-0.03^{+0.13}_{-0.10}$	$1.58^{+0.40}_{-0.58}$	$0.30^{+0.08}_{-0.10}$	$41.0^{+3.8}_{-2.7}$	$0.67^{+0.06}_{-0.07}$	140	$15.3^{+0.2}_{-0.3}$
GW190412	$38.4^{+3.8}_{-3.7}$	$13.3^{+0.4}_{-0.3}$	$30.0^{+4.7}_{-5.1}$	$8.3^{+1.6}_{-0.9}$	$0.25^{+0.88}_{-0.11}$	$0.74^{+0.14}_{-0.17}$	$0.15\substack{+0.03 \\ -0.03}$		$0.67^{+0.05}_{-0.06}$	21	$18.9^{+0.2}_{-0.3}$
GW190413.052954	$56.9^{+13.1}_{-8.9}$	$24.0^{+5.4}_{-3.7}$	$33.4^{+12.4}_{-7.4}$	$23.4^{+6.7}_{-6.3}$	$0.01^{+0.29}_{-0.33}$	$4.10^{+3.41}_{-1.89}$	$0.66^{+0.30}_{-0.27}$	$54.3^{+12.4}_{-8.4}$	$0.69^{+0.12}_{-0.13}$	1400	$8.9^{+0.4}_{-0.8}$
GW190413_134308	$76.1^{+15.9}_{-10.6}$	$31.9^{+7.3}_{-4.6}$	$45.4^{+13.6}_{-0.6}$	$30.9^{+10.2}_{-0.0}$	$-0.01^{+0.76}_{-0.01}$	$5.15^{+2.44}_{-2.34}$	$0.80^{+0.30}_{-0.31}$	$72.8^{+15.2}_{-10.3}$	$0.69^{+0.10}_{-0.12}$	520	$10.0^{+0.4}_{-0.5}$
GW190421,213856	$71.8^{+12.6}_{-8.6}$	$30.7^{+5.5}_{-3.9}$	$40.6^{+10.4}_{-6.6}$	$31.4^{+7.0}_{-6.7}$	$-0.05^{+0.23}_{-0.26}$	3.15 1.42	$0.53^{+0.18}_{-0.21}$	$68.6^{+11.7}_{-8.1}$	$0.68^{+0.10}_{-0.11}$	1000	$10.7^{+0.2}_{-0.4}$
GW190424_180648	4.00 4	$30.3^{+5.7}_{-4.2}$	$39.5^{+10.9}_{-6.9}$	$31.0^{+7.4}_{-7.3}$	$0.15^{+0.22}_{-0.22}$				$0.75^{+0.08}_{-0.09}$	26000	$10.4^{+0.2}_{-0.4}$
GW190425	$3.4^{+0.3}_{-0.1}$	$1.44^{+0.02}_{-0.02}$	$2.0^{+0.6}_{-0.3}$	1.4+0.3	$0.06^{+0.11}_{-0.05}$	$0.16^{+0.07}_{-0.07}$	$0.03^{+0.01}_{-0.02}$		ZAMENIA.	9900	$12.4^{+0.3}_{-0.4}$
GW190426.152155	10000	$2.41^{+0.08}_{-0.08}$		$1.5^{+0.8}_{-0.5}$	$-0.03^{+0.33}_{-0.30}$				1	1400	$8.7^{+0.5}_{-0.6}$
GW190503_185404	$71.3^{+0.0}_{-8.0}$	$30.1^{+4.7}_{-4.0}$	$42.9^{+0.2}_{-7.8}$	$28.5^{+7.5}_{-7.9}$	$-0.02^{+0.20}_{-0.26}$	$1.52^{+0.71}_{-0.06}$	$0.29^{+0.11}_{-0.11}$	$68.2^{+8.7}_{-7.5}$	$0.67^{+0.09}_{-0.12}$	94	$12.4^{+0.2}_{-0.3}$
GW190512.180714	$35.6^{+3.0}_{-3.4}$	$14.5^{+1.3}_{-1.0}$	$23.0^{+5.4}_{-5.7}$	$12.5^{+3.5}_{-2.5}$	$0.03^{+0.13}_{-0.13}$	$1.49^{+0.53}_{-0.59}$	$0.28^{+0.09}_{-0.10}$	$34.2^{+3.0}_{-3.4}$	$0.65^{+0.07}_{-0.07}$	230	$12.2^{+0.2}_{-0.4}$
GW190513.205428	$53.6^{+8.6}_{-5.9}$	$21.5^{+3.6}_{-1.9}$	$35.3^{+9.6}_{-9.0}$	$18.1^{+7.3}_{-4.2}$	$0.12^{+0.29}_{-0.18}$		$0.39^{+0.14}_{-0.13}$		$0.69^{+0.14}_{-0.12}$	490	$12.9^{+0.3}_{-0.4}$
GW190514.065416	$64.2^{+16.6}_{-9.6}$	$27.4_{-4.3}^{+6.9}$	$36.9^{+13.4}_{-7.3}$	$27.5^{+8.2}_{-7.7}$	$-0.16^{+0.28}_{-0.32}$	$4.93^{+2.76}_{-2.41}$	$0.77^{+0.34}_{-0.33}$	$61.6^{+16.0}_{-9.2}$	$0.64^{+0.11}_{-0.14}$	2400	$8.2^{+0.3}_{-0.6}$
GW190517.055101	$61.9^{+10.0}_{-9.6}$	$26.0_{-4.0}^{+4.2}$	$36.4^{+11.8}_{-7.8}$	$24.8_{-7.1}^{+6.9}$	$0.53^{+0.20}_{-0.19}$	$2.11^{+1.79}_{-1.00}$	$0.38^{+0.26}_{-0.16}$	$57.8^{+9.4}_{-9.1}$	$0.87^{+0.05}_{-0.07}$	460	$10.7^{+0.4}_{-0.6}$
$GW190519_153544$	$104.2^{+14.5}_{-14.9}$	$43.5^{+6.8}_{-6.8}$	64.5+11.3	10.0	$0.33^{+0.19}_{-0.22}$	$2.85^{+2.02}_{-1.14}$	$0.49^{+0.27}_{-0.17}$	$98.7^{+13.5}_{-14.2}$	$0.80^{+0.07}_{-0.12}$	770	$15.6^{+0.2}_{-0.3}$
GW190521	$157.9^{+17.4}_{-20.9}$	66.93(3.5	$91.4^{+29.5}_{-17.5}$	$66.8^{+20.7}_{-20.7}$	$0.06^{+0.31}_{-0.37}$	$4.53^{+2.30}_{-2.13}$	$0.72^{+0.29}_{-0.29}$	$150.3^{+35.9}_{-20.8}$	$0.73^{+0.11}_{-0.14}$	940	$14.2^{+0.3}_{-0.3}$
GW190521_074359		$31.9^{+8.1}_{-2.4}$	$42.1_{-4.9}^{+5.9}$	32.7-0.2	$0.09^{+0.10}_{-0.13}$		$0.25^{+0.06}_{-0.10}$		$0.72^{+0.05}_{-0.07}$	500	$25.8^{+0.1}_{-0.2}$
GW190527,092055	$58.5^{+27.9}_{-10.0}$	$24.2_{-4.4}^{+11.9}$	$36.2^{+19.1}_{-9.5}$	22.8+12.7	$0.13^{+0.29}_{-0.28}$	$3.10^{+4.85}_{-1.64}$	$0.53^{+0.61}_{-0.25}$	$55.9^{+26.4}_{-10.1}$	$0.73^{+0.12}_{-0.16}$	3800	$8.1^{+0.4}_{-1.0}$
GW190602_175927	$114.1^{+18.5}_{-15.7}$	$48.3^{+8.6}_{-8.0}$	$67.2^{+16.0}_{-12.6}$	$47.4^{+13.4}_{-16.6}$	$0.10^{+0.25}_{-0.25}$			$108.8^{+17.3}_{-14.3}$		720	$12.8^{+0.2}_{-0.3}$
GW190620_030421	$90.1^{+17.3}_{-12.1}$	$37.5^{+7.8}_{-5.7}$	$55.4_{-12.0}^{+15.8}$	$35.0^{+11.6}_{-11.4}$	$0.34^{+0.21}_{-0.21}$	$3.16^{+1.67}_{-1.43}$	$0.54^{+0.22}_{-0.21}$	$85.4^{+15.9}_{-11.4}$	$0.80^{+0.08}_{-0.14}$	6700	$12.1^{+0.3}_{-0.4}$
GW190630_185205	58.8 + 4.7	$24.8^{+2.1}_{-2.0}$	$35.0^{+6.9}_{-5.7}$	$23.6^{+5.2}_{-5.1}$	$0.10^{+0.12}_{-0.13}$		$0.19^{+0.10}_{-0.07}$		$0.70^{+0.06}_{-0.07}$	1300	$15.6^{+0.2}_{-0.3}$
GW190701.203306	$94.1^{+11.0}_{-9.3}$	$40.2^{+5.2}_{-4.7}$	$53.6^{+11.7}_{-7.8}$	$40.8^{+8.3}_{-11.5}$	$-0.06^{+0.23}_{-0.20}$		$0.38^{+0.12}_{-0.12}$		$0.67^{+0.09}_{-0.12}$	45	$11.3^{+0.2}_{-0.4}$
GW190706.222641		$42.0^{+8.4}_{-0.2}$	$64.0^{+15.2}_{-15.2}$	$38.5^{+12.5}_{-12.4}$	$0.32^{+0.7}_{-0.3}$	$5.07^{+2.57}_{-2.11}$			$0.80^{+0.08}_{-0.17}$	610	$12.6^{+0.2}_{-0.4}$
GW190707_093326	$20.0^{+1.9}_{-1.3}$	$8.5^{+0.6}_{-0.4}$	$11.5^{+3.3}_{-1.7}$	8.4+1.4	$-0.05^{+0.10}_{-0.08}$	$0.80^{+0.87}_{-0.38}$	$0.16^{+0.07}_{-0.07}$		$0.66^{+0.03}_{-0.04}$	1300	13.3 +0.2
GW190708.232457	$30.8^{+2.5}_{-1.8}$	$13.1^{+0.9}_{-0.6}$	$17.5_{-2.3}^{+4.7}$	$13.1^{+2.0}_{-2.7}$	$0.02^{+0.10}_{-0.08}$		$0.18^{+0.06}_{-0.07}$	$29.4^{+2.5}_{-1.7}$	$0.69^{+0.04}_{-0.04}$	14000	$13.1^{+0.2}_{-0.3}$
GW190719.215514	$55.8^{+16.3}_{-10.0}$	$22.7^{+5.9}_{-1.7}$	$35.2^{+10.0}_{-0.0}$	$20.2^{+8.1}_{-6.5}$	$0.35^{+0.28}_{-0.32}$	$4.61^{+2.84}_{-9.17}$	$0.73^{+0.35}_{-0.30}$	$52.9^{+15.6}_{-9.5}$	$0.80^{+0.10}_{-0.16}$	2300	$8.3^{+0.3}_{-3.0}$
GW190720_000836	$21.3^{+4.8}_{-2.3}$	$8.9^{+0.5}_{-0.8}$	$13.3^{+0.0}_{-3.0}$	$7.8^{+2.2}_{-2.2}$	$0.18^{+0.14}_{-0.12}$	$0.81^{+0.71}_{-0.33}$	$0.16^{+0.12}_{-0.00}$	$20.3^{+4.9}_{-2.3}$	$0.72^{+0.06}_{-0.05}$	510	$11.0^{+0.3}_{-0.8}$
GW190727_060333	$65.8^{+10.0}_{-7.4}$	$28.1^{+4.9}_{-3.4}$	$37.2^{+0.4}_{-5.0}$	$28.8^{+0.0}_{-7.9}$	$0.12^{+0.20}_{-0.25}$	$3.60^{+1.50}_{-1.51}$	$0.60^{+0.20}_{-0.22}$	$62.6^{+10.2}_{-7.0}$	$0.73^{+0.10}_{-0.10}$	860	$11.9^{+0.3}_{-0.5}$
GW190728.064510	$20.5_{-1.3}^{+4.5}$	$8.6^{+0.5}_{-0.3}$	$12.2^{+7.1}_{-2.2}$	$8.1^{+1.7}_{-2.6}$	$0.12^{+0.10}_{-0.07}$	$0.89^{+0.25}_{-0.37}$	$0.18^{+0.05}_{-0.07}$	$19.5^{+4.6}_{-1.3}$	$0.71^{+0.04}_{-0.04}$	410	$13.0^{+0.2}_{-0.4}$
GW190731_140936	$67.1^{+15.3}_{-10.2}$	$28.4^{+0.8}_{-4.5}$	$39.3^{+11.8}_{-8.2}$	$28.0^{+8.9}_{-8.4}$	$0.08^{+0.24}_{-0.24}$	$3.97^{+2.56}_{-2.07}$	$0.65^{+0.32}_{-0.30}$	$63.9^{+14.4}_{-9.8}$	$0.71^{+0.10}_{-0.12}$	3000	$8.6^{+0.2}_{-0.5}$
GW190803.022701	$62.7^{+11.8}_{-8.4}$	$26.7^{+5.2}_{-3.8}$	$36.1^{+10.2}_{-0.7}$	$26.7^{+7.1}_{-7.6}$	$-0.01^{+0.25}_{-0.26}$				$0.69^{+0.10}_{-0.11}$	1500	$8.6^{+0.3}_{-0.5}$
GW190814	$25.8^{+1.0}_{-0.9}$	$6.09^{+0.06}_{-0.06}$	$23.2^{+1.1}_{-1.0}$	$2.59^{+0.08}_{-0.09}$	$0.00^{+0.06}_{-0.06}$	$0.24^{+0.04}_{-0.05}$	0.05+0.000	$25.6^{+1.0}_{-0.9}$	$0.28^{+0.02}_{-0.02}$	19	$24.9^{+0.1}_{-0.2}$
GW190828.063405	$57.5^{+7.5}_{-4.4}$	$24.8^{+3.3}_{-2.0}$	$31.8^{+5.8}_{-3.0}$	$25.9^{+1.4}_{-1.6}$	$0.19^{+0.15}_{-0.16}$	$2.22^{+0.63}_{-0.05}$	$0.40\substack{+0.00 \\ -0.15}$	$54.5^{+6.9}_{-4.0}$	$0.76^{+0.06}_{-0.07}$	520	$16.2^{+0.2}_{-0.3}$
GW190828,065509	$34.1^{+5.5}_{-4.7}$	$13.3^{+1.2}_{-0.9}$	$23.8^{+7.2}_{-7.0}$	$10.2^{+3.5}_{-2.1}$	$0.08^{+0.56}_{-0.16}$	$1.66^{+0.63}_{-0.61}$	$0.31^{+0.10}_{-0.10}$	$32.9_{-1.5}^{+5.7}$	$0.65^{+0.09}_{-0.00}$	640	10.0+0.3
GW190909,114149	$71.2^{+54.3}_{-15.0}$	$29.5_{-0.3}^{+17.5}$	$43.2^{+50.7}_{-12.2}$	$27.6^{+13.0}_{-10.9}$	$-0.03^{+0.44}_{-0.36}$	$4.77^{+3.70}_{-2.66}$	$0.75\substack{+0.45 \\ -0.37}$	$68.3^{+52.5}_{-14.5}$	$0.68^{+0.16}_{-0.18}$	4200	$8.1^{\pm0.4}_{-0.7}$
GW190910.112807	$78.7^{+0.5}_{-9.0}$	$33.9^{+4.3}_{-1.9}$	$43.5^{+7.0}_{-6.2}$	$35.1^{+0.3}_{-7.0}$	$0.02^{+0.19}_{-0.18}$	$1.57^{+1.07}_{-0.64}$	$0.29^{+0.17}_{-0.11}$	$75.0^{+8.7}_{-8.9}$	$0.70^{+0.08}_{-0.07}$	10000	$14.1^{+0.2}_{-0.3}$
GW190915.235702	$59.5^{+7.8}_{-6.2}$	$25.1^{+3.1}_{-2.6}$	$34.9^{+9.5}_{-6.2}$	$24.4^{+5.5}_{-6.0}$	$0.03^{+0.19}_{-0.24}$	$1.70^{+0.71}_{-0.64}$	$0.32^{+0.11}_{-0.11}$		$0.71^{+0.69}_{-0.13}$	380	$13.6^{+0.2}_{-0.3}$
GW190924_021846	$13.9^{+5.1}_{-0.9}$	$5.8^{+0.2}_{-0.2}$	$8.8^{+7.0}_{-2.0}$	$5.0^{+1.3}_{-1.0}$	$0.03^{+0.30}_{-0.00}$	$0.57^{+0.27}_{-0.22}$	$0.12^{+0.04}_{-0.04}$	$13.3^{+5.2}_{-1.0}$	$0.67\substack{+0.05 \\ -0.05}$	380	$11.5^{+0.3}_{-0.4}$
GW190929.012149		$34.3^{+8.0}_{-6.5}$	$64.7^{+22.4}_{-18.0}$	$25.7^{+14.4}_{-9.7}$	$0.03^{+0.27}_{-0.27}$	$3.68^{+2.98}_{-1.68}$	$0.61^{+0.38}_{-0.24}$		$0.64^{+0.17}_{-0.23}$	1800	$9.8^{+0.8}_{-0.6}$
GW190930_133541	$20.3_{-1.5}^{+0.0}$	$8.5^{+0.5}_{-0.5}$	$12.3^{+12.5}_{-2.3}$	$7.8^{+1.7}_{-3.3}$	$0.14^{+0.31}_{-0.13}$	$0.78^{+0.37}_{-0.33}$	$0.16^{+0.07}_{-0.06}$	$19.3^{+9.3}_{-1.5}$	$0.72^{+0.07}_{-0.06}$	1800	$9.5^{+0.3}_{-0.5}$

39 events

5)

Un réseau de détecteurs



Un réseau de détecteurs









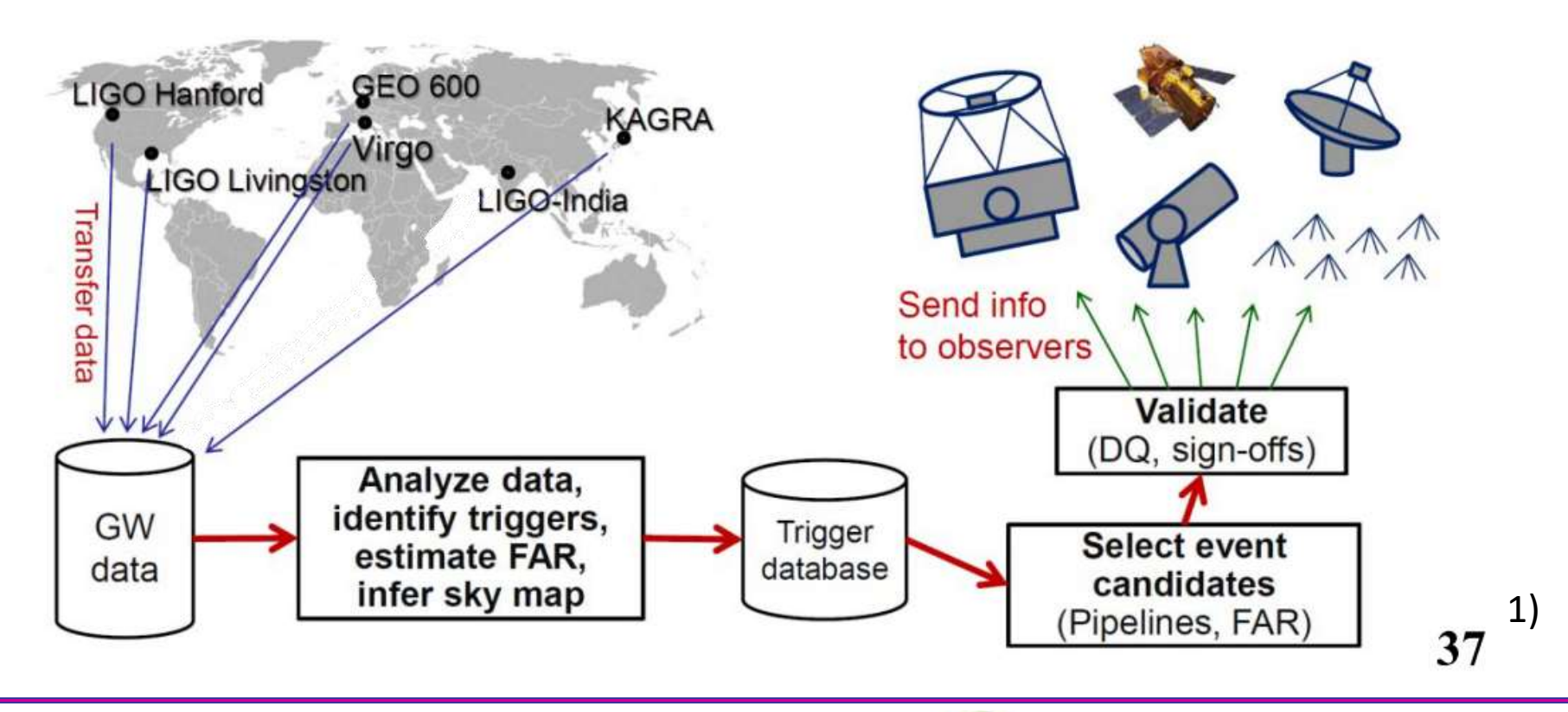




Un réseau de partenaires

- Recherche de contreparties au signal d'ondes gravitationnelles
 - Électromagnétiques
 - Neutrinos
 - Particules

Des dizaines de télescopes partenaires



Les collaborations

Virgo

- ♦ Italie (11), France (8), Espagne (3), Belgique (1), Pays-Bas (5), Germany (1), Hongrie (1), Pologne (1), Grece (1)
- ♦ ~650 membres
 - Développeurs des détecteurs
 - × Optique linéaire et non, Laser, Mécanique, Matériaux, Matière Condensée, Électronique, Optique Quantique
 - Operateurs des détecteurs
 - × Systèmes de contrôle
 - Analystes des données
 - × Développeurs des codes, Astrophysiciens
- ♦ 449 membres signent les articles de détection
 - Les étudiants sont membres de que ils commencent la thèse





Les collaborations

- LIGO (LIGO Scientific Community)
 - ♦ 18 pays, 108 institutions, ~ 1200+ chercheurs (~700 signataires des articles)



♦ 2 réunions par an entre LIGO, Virgo, KAGRA





Un domaine en plein évolution

LIGO et Virgo

- ♦ Prochaines upgrades (Advanced +)
 - Prise de données prévu en 2013
 - Amélioration sur l'optique (Lumière squizée), miroirs et filtrage sismique
 - × LIGO: déjà financé
 - × Virgo: en attente de l'arbitrage du CNRS et INFN
- ♦ Projets à longue termes
 - Einstein Telescope (surtout Européen)
 - Voyager (surtout Américaine)
 - Cosmic Explorer (surtout Américaine)



Un domaine en plein évolution

KAGRA

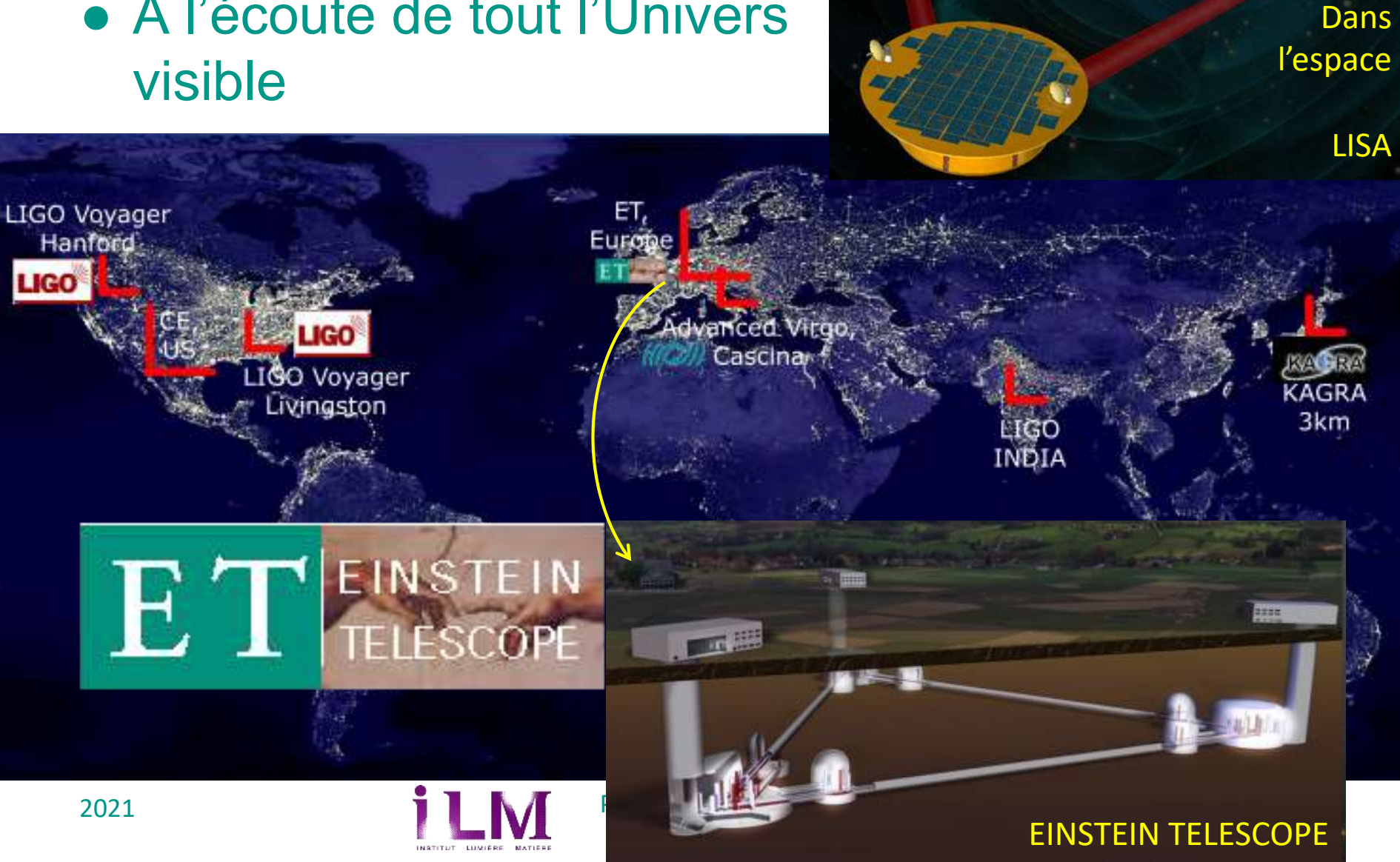
- ♦ Première détecteur cryogénique
- ♦ Prise de données: fin de O3 (2020)
- Prochaines upgrades
 - Pas encore décidé

LISA

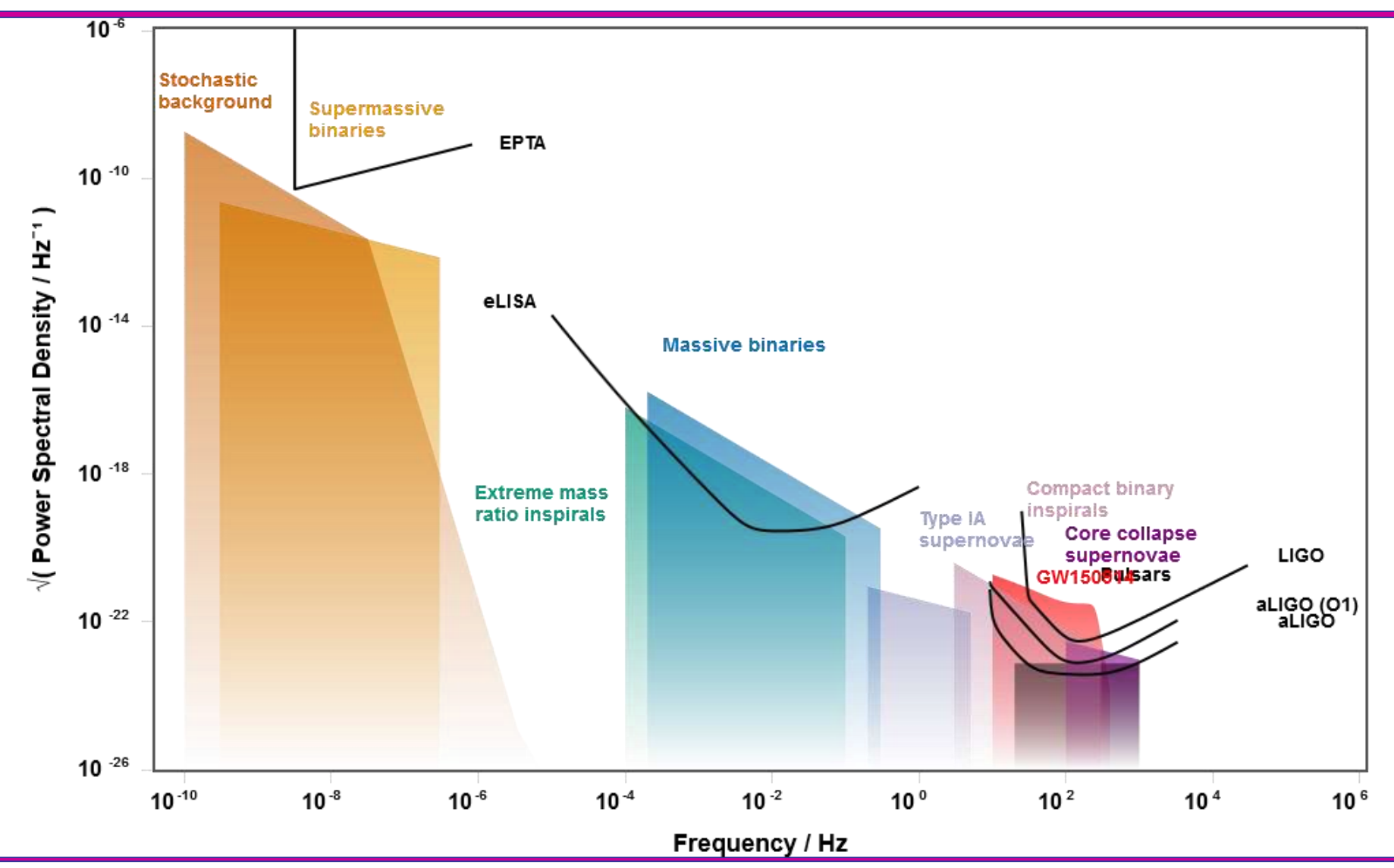
- Détecteur spatial
- ◆ Complémentarité:
 très basse fréquences (10⁻⁴ 10⁻¹ Hz)

Le future de l'Astronomie Gravitationnelle

 À l'écoute de tout l'Univers visible



La complémentarité des détecteurs





1916-2017 : un siècle de progrès

• 1916 : Prédictions des OG (Einstein)

1957 : Conférence de Chapel Hill

• 1963 : Trous noirs de Kerr

vnórion

- 1990's : développements théoriques pour la coalescence de systèmes binaires (Blanchet, Damour, Deruelle, Iyer, Will, Wiseman, etc.)
- 2000 : Idem pour le cas de systèmes binaires de 2 trous noirs (Buonanno, Damour)
- 2006: simulations de la fusion de deux trous noirs (Baker, Lousto, Pretorius, etc.)

(Bondi, Feynman, Pirani, etc.)

- 1960's : premières barres de Weber
- 1970 : premier prototype d'ITF (Forward)
- 1972 : Etudes de faisabilité détaillées (Weiss)
- 1974 : PSRB 1913+16 (Hulse & Taylor)
- Années 1980: Prototypes (~10 m de long)
 (Caltech, Garching, Glasgow, Orsay)
- Fin des années 1980 : projets Virgo & LIGO
- Années 1990 : LIGO et Virgo financés
- 2005-2011 : premières prises de données
- 2007 : accord Virgo-LIGO partage des données, analyses et publications communes
- 2012 : financement des détecteurs avancés
- 2015 : démarrage de LIGO avancé
 2017 : démarrage de Virgo avancé





1)

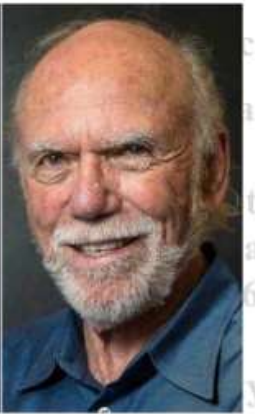
1916-2018 : un siècle de progrès

• 1916 : Prédictions des OG (Einstein)









arres de Weber

type d'ITF (Forward) abilité détaillées (Weiss) 6 (Hulse & Taylor)

vpes (~10 m de long)

R. Weiss

B. Barish Glasgow, Orsay) K. Thorne



Thibaud Damour : démarrage de LIGO avancé · 2017 : démarrage de Virgo avancé



Découvertes!

a Alain Brillet (Baker, Lousto, P

> **POG** - Introduction G. Cagnoli



Les OG à Lyon

• iP2i (LMA)

 Réalisation des dépôts des couches optiques des très haute qualité

LMA a réalisé les miroirs de tous les interféromètres

- Métrologie des couches et substrats
- Simulation de l'interféromètre par propagation des fronts d'ondes

• ILM 8-MAG

- Étude du bruit thermique dans les matériaux amorphes et cristallins
- Simulation du dépôt et des pertes mécaniques par Molecular Dynamics
- Développement de la technologie du saphir pour les substrats et le suspensions

• iP2i

- Analyse des données
- Fonctionnement du détecteur Virgo





Ce cours

Objectifs

- Donner un niveau introductif sur les différents aspects de cette nouvelle science
- Rendre plus compréhensibles les articles de la collaboration LIGO/Virgo
- Permettre aux étudiants intéressés à s'orienter dans la choix des sujets de recherche

L'évaluation

Orale: présentation d'un article de la collaboration

POG - Introduction

G. Cagnoli



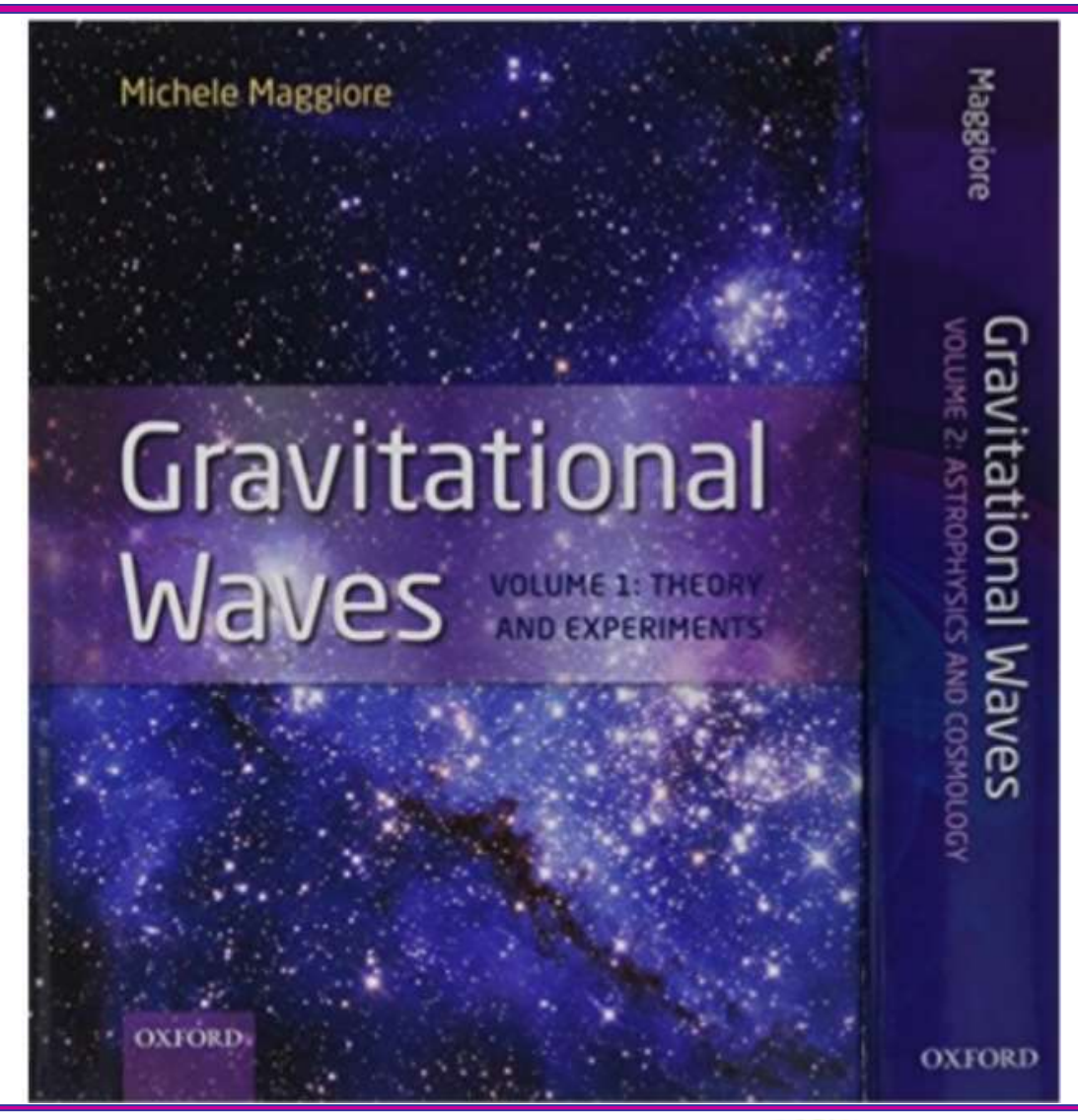
Le plan du cours

https://univ-lyon1.webex.com/meet/gianpietro.cagnoli

	DATE	Disponibilité Gianpietro	WHAT
1	Lundi Jan 25 9h-12h		 Introduction au domaine de l'Astronomie Gravitationnelle Propriétés des OG : théorie linéaire 1
2	Lundi Fev 1 9h-12h		3. Propriétés des OG : théorie linéaire 24. Propriétés des OG : les sources des ondes 1
3	Lundi Fev 8 9h-12h		5. Propriétés des OG : les effets des ondes 2
	Lundi Fev 15 9h-12h	Vacances d'hiver	
4	Lundi Fev 22 9h-12h		6. Les détecteurs des OG : les interféromètres géants
5	Lundi Mar 1 9h-12h		7. Les détecteurs des OG : les bruits fondamentaux
6	Lundi Mar 8 9h-12h		8. Le problème des matériaux dans un détecteur des OG
7	Lundi Mar 15 9h-12h	Séance disponible sans programme	



Livre de texte



Crédits

- 1) Nicolas Arnaud, LAL, présentation aux étudiants M1 de Lyon à EGO
- 2) arXiv:1811.12940v2 [astro-ph.HE] 18 Dec 2018
- 3) arXiv:1811.12907v2 [astro-ph.HE] 16 Dec 2018
- 4) https://www.ligo.org/about.php
- 5) https://arxiv.org/abs/2010.14527



